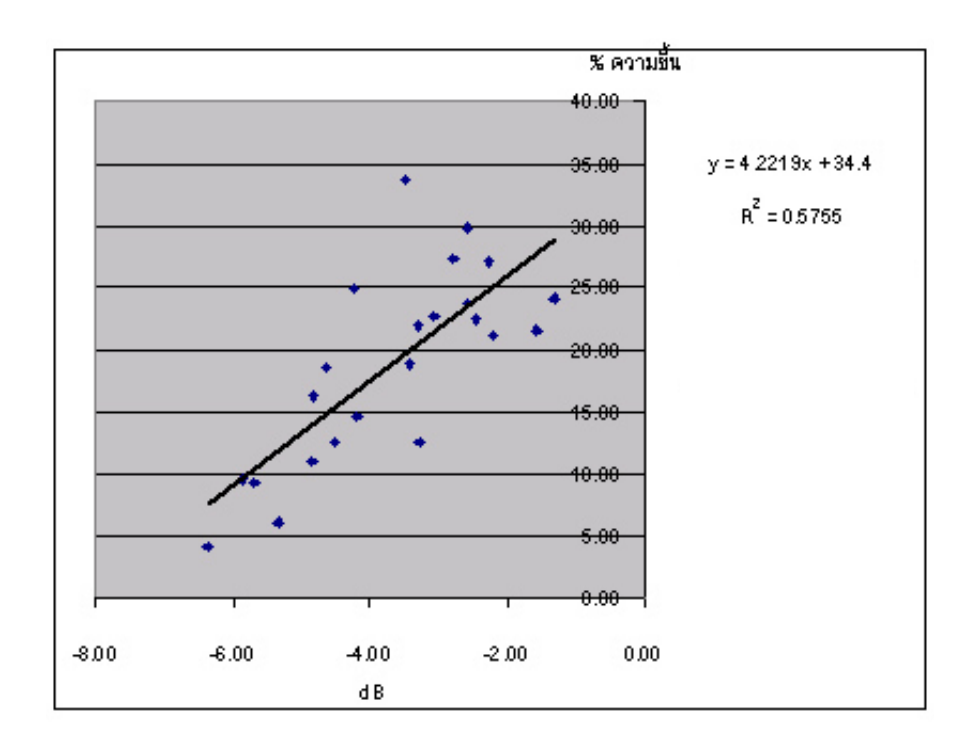
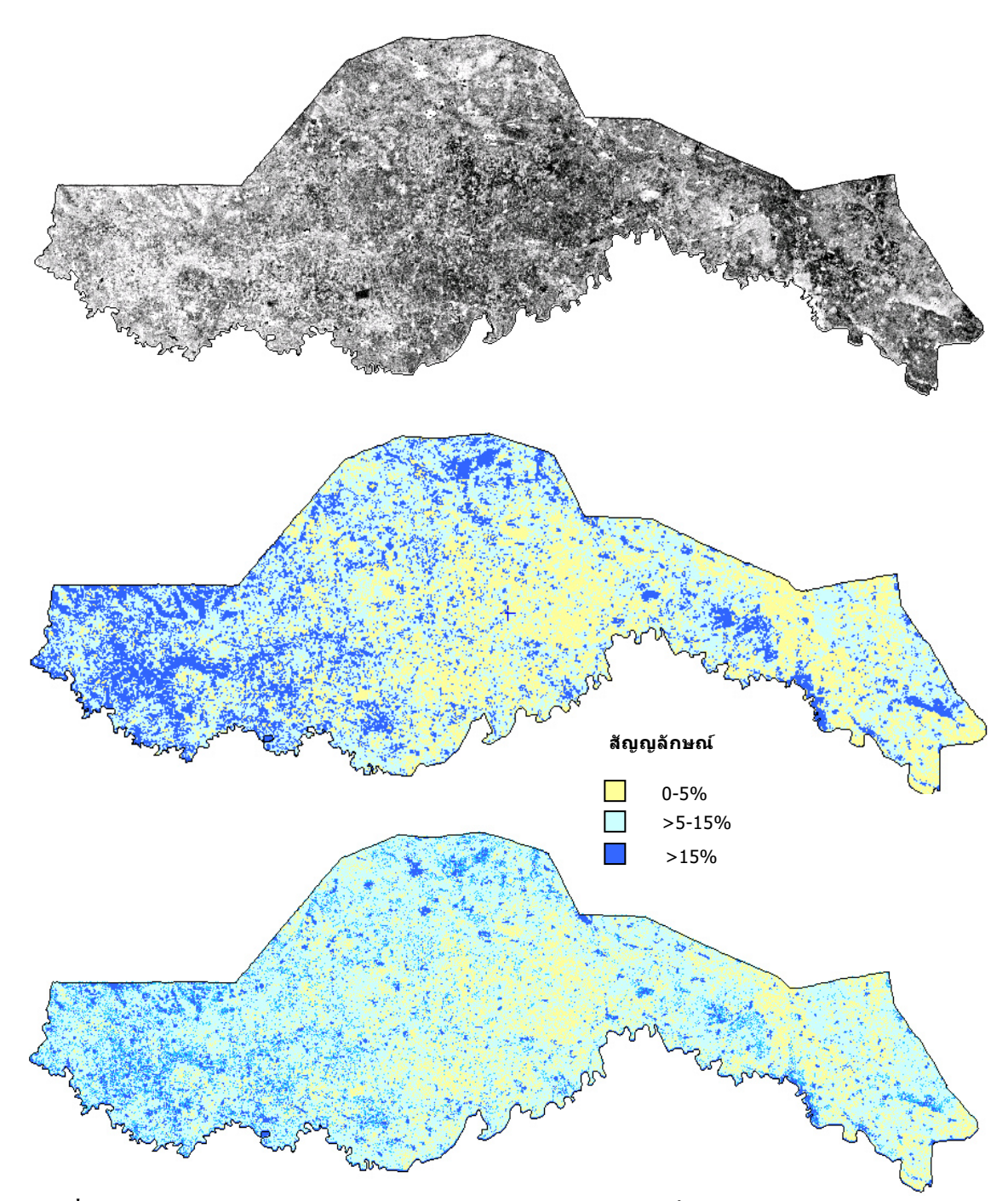


ภาพที่ 4.4 (บน) ภาพถ่ายดาวเทียม RADARSAT-1 บันทึกเมื่อ 14 มกราคม 2549
(กลาง) แผนที่ความชื้นดินที่ระดับความลึก 0-30 ซม. กลางเดือนมกราคม (14
มกราคม 2549) จากการวิเคราะห์ข้อมูล RADARSAT-1 ด้วยวิธี
Maximum Likelihood

(ล่าง) แผนที่ความชื้นดินที่ระดับความลึก 0-30 ซม. กลางเคือนมกราคม (14 มกราคม 2549) จากการวิเคราะห์ข้อมูล RADARSAT-1 โดยใช้สมการ Linear Regression

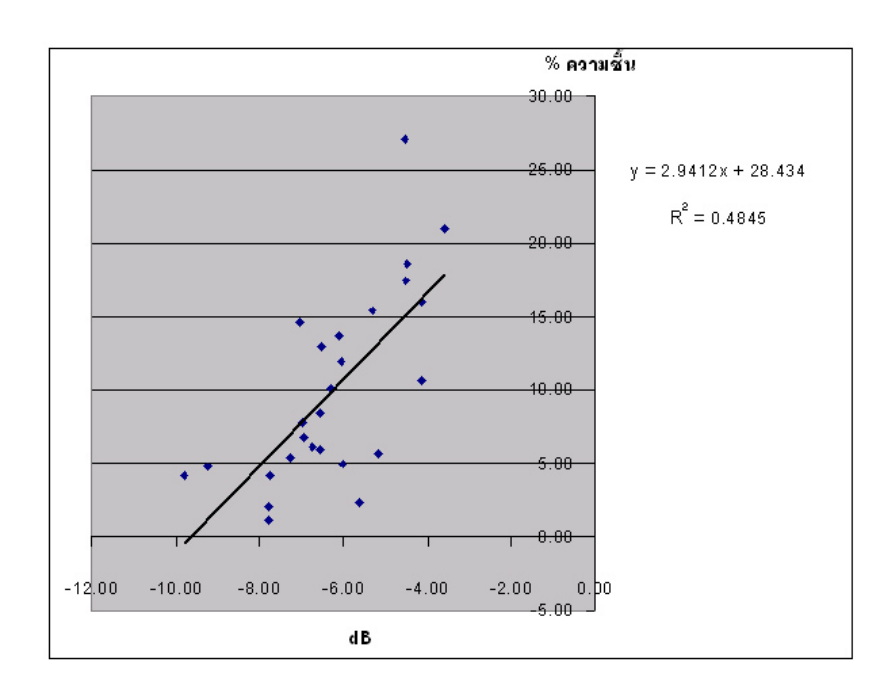


ภาพที่ 4.5 สมการ Linear Regression ที่ใช้ในการประเมินความชื้นที่ระดับลึก 0-30 ซม. วันที่ 14 มกราคม 2549

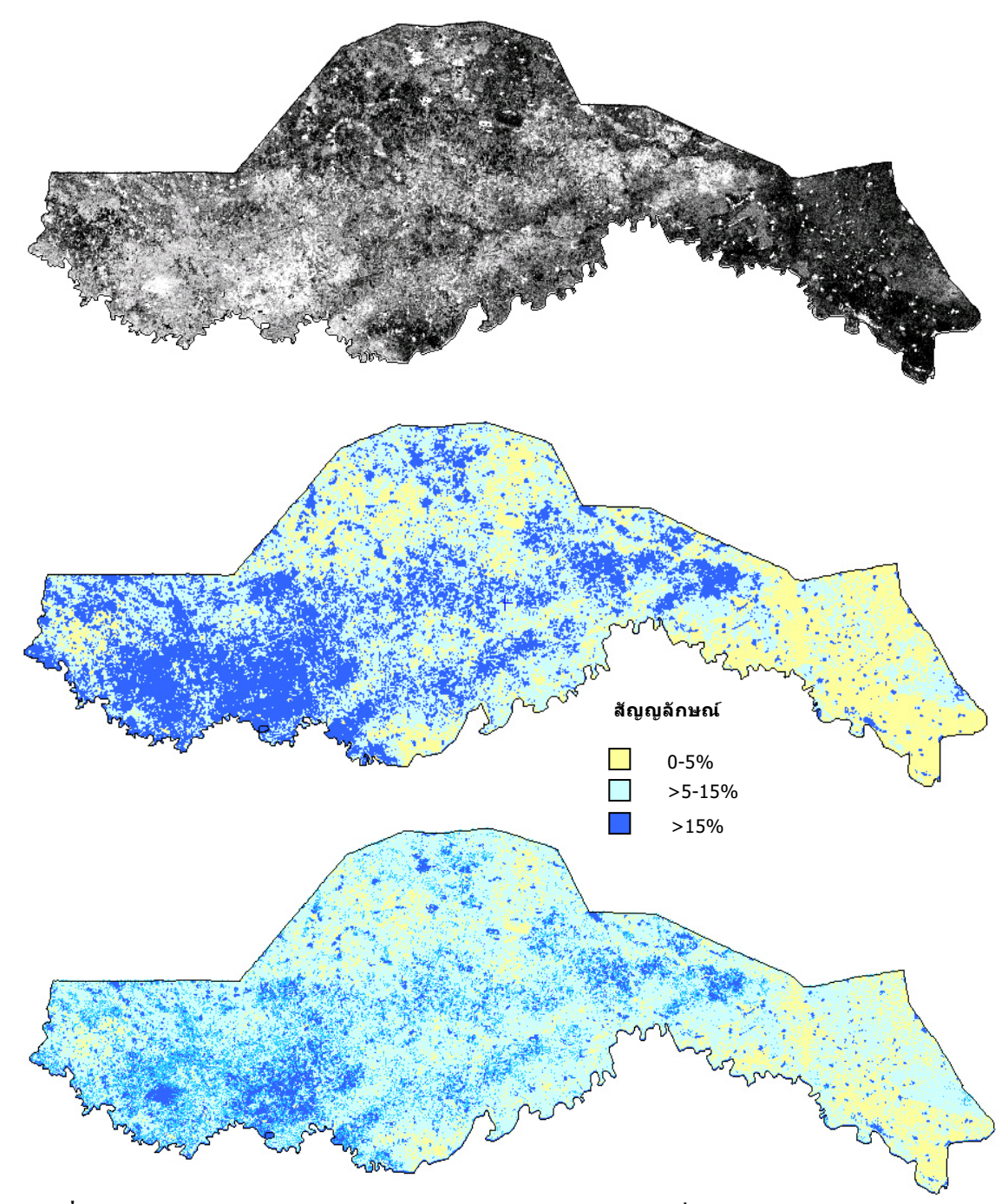


ภาพที่ 4.6 (บน) ภาพถ่ายดาวเทียม RADARSAT-1 บันทึกเมื่อ 3 มีนาคม 2549
(กลาง) แผนที่ความชื้นดินที่ระดับความลึก 0-30 ซม. ต้นเดือนมีนาคม (3 มีนาคม
2549) จากการวิเคราะห์ข้อมูล RADARSAT-1 ด้วยวิธี Maximum
Likelihood

(ล่าง) แผนที่ความชื้นดินที่ระดับความลึก 0-30 ซม. ต้นเดือนมีนาคม (3 มีนาคม 2549) จากการวิเคราะห์ข้อมูล RADARSAT-1 โดยใช้สมการ Linear Regression

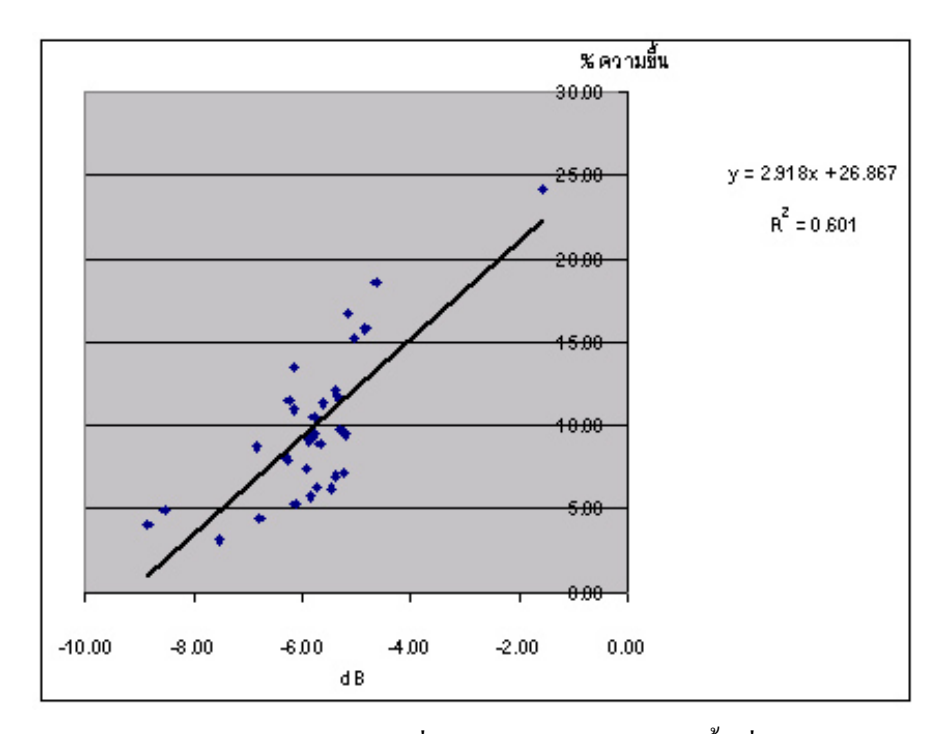


ภาพที่ 4.7 สมการ Linear Regression ที่ใช้ในการประเมินความชื้นที่ระดับลึก 0-30 ซม. วันที่ 3 มีนาคม 2549

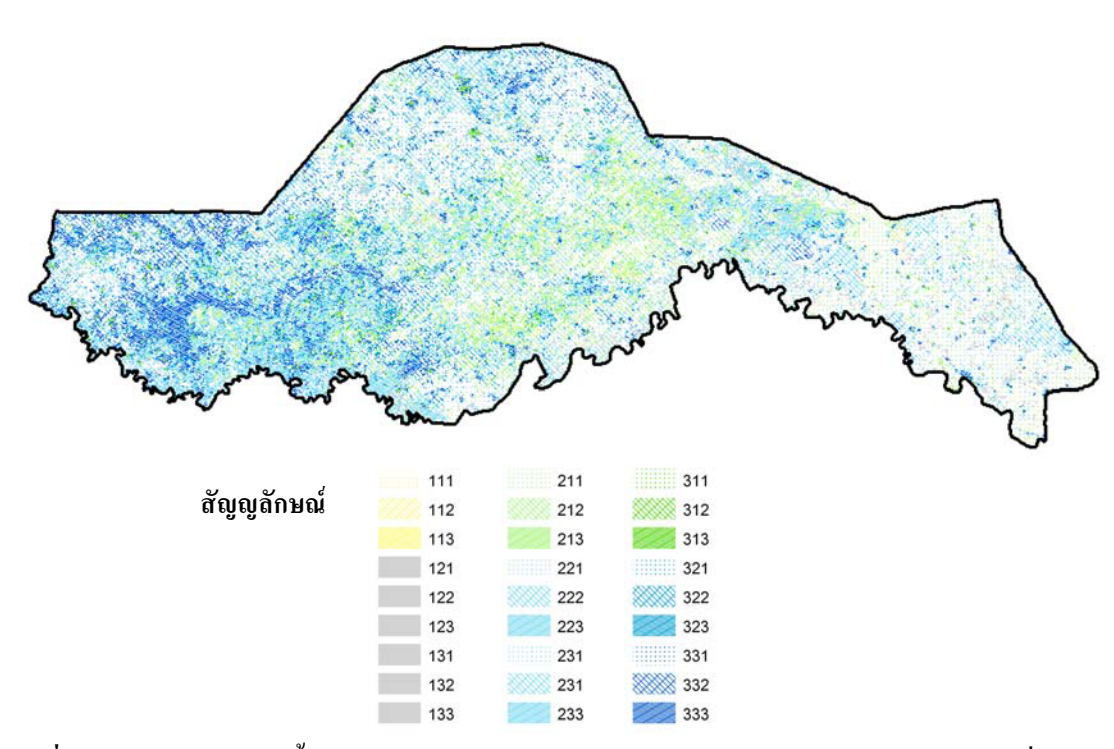


ภาพที่ 4.8 (บน) ภาพถ่ายดาวเทียม RADARSAT-1 บันทึกเมื่อ 9 เมษายน 2549 (กลาง) แผนที่ความชื้นดินที่ระดับความลึก 0-30 ซม. กลางเดือนเมษายน (9 เมษายน 2549) จากการวิเคราะห์ข้อมูล RADARSAT-1 ด้วยวิธี Maximum Likelihood

(ล่าง) แผนที่ความชื้นดินที่ระดับความลึก 0-30 ซม. กลางเดือนเมษายน (9 เมษายน 2549) จากการวิเคราะห์ข้อมูล RADARSAT-1 โดยใช้สมการ Linear Regression



ภาพที่ 4.9 สมการ Linear Regression ที่ใช้ในการประเมินความชื้นที่ระดับลึก 0-30 ซม. วันที่ 9 เมษายน 2549



ภาพที่ 4.10 ระบอบความชื้นของดินในทุ่งกุลาร้องให้ ความหมายของรหัสตัวเลขดูจากตารางที่ 4.14